00	Aprile 2021	Prima emissione	GMA	GDS	GDS
REV.	DATA	DESCRIZIONE REVISIONE	REDATTO	VERIFICATO	APROVATO

Volta Green Energy

REGIONE BASILICATA

Provincia di MATERA
COMUNI DI MONTESCAGLIOSO E BERNALDA



PROGETTO:

PARCO EOLICO LUMELLA PROGETTO DEFINITIVO

COMMITTENTE:



Piazza Manifattura, 1 – 38068 Rovereto (TN)
Tel. +39 0464 625100 - Fax +39 0464 625101 - PEC volta-ge@legalmail.it

PROGETTISTA



F4 ingegneria srl

via Di Giura - Centro Direzionale, 85100 Potenza Tel: +39 0971 1 944 797 - Fax: +39 0971 5 54 52 www.f4ingegneria.it - f4ingegneria@pec.it Direttore tecnico

CODIFICA PROGETTISTA

F0342BR08A

OGGETTO DELL'ELABORATO:

A.8 Studio sugli effetti dello shadow flickering

N° ELABORATO	SCALA	FOGLIO	FORMATO	CODIFICA COMMITTENTE	
8	-	-	A4	R08	
ID ELABORATO:					

ID ELABORATO

Questo elaborato è di proprietà di Volta Green Energy ed è protetto a termini di legge







Sommario

1	Introduzione	2
2	Individuazione dei ricettori	5
3	Modello di calcolo	7
4	Risultati	Ć

Parco Eolico "Lumella"

Studio sugli effetti di shadow flickering

1 Introduzione

Gli aerogeneratori, al pari di tutte le altre strutture fortemente sviluppate in altezza, proiettano un'ombra sulle aree circostanti in presenza di irraggiamento solare diretto.

Lo shadow flickering (letteralmente ombreggiamento intermittente) è l'espressione comunemente impiegata per descrivere una fluttuazione periodica dell'intensità luminosa osservata. Tale effetto (stroboscopico) è causato dalla proiezione, su una generica superficie, dell'ombra indotta da oggetti in movimento. Nel caso specifico di un impianto eolico il fenomeno è generato dalla proiezione, al suolo o su un ricettore (abitazione), dell'ombra prodotta dalle pale degli aerogeneratori in rotazione allorquando il sole si trova alle loro spalle (cfr. figura successiva).

Il fenomeno, dal punto di vista di un potenziale ricettore, si traduce in una variazione alternata e ciclica di intensità luminosa che, a lungo andare, può provocare fastidio agli occupanti delle abitazioni le cui finestre risultano esposte al fenomeno stesso. Il fenomeno, ovviamente, risulta assente sia quando il sole è oscurato da nuvole o dalla nebbia, sia quando, in assenza di vento, le pale dell'aerogeneratore non sono in rotazione.

In particolare, le frequenze che possono provocare un senso di fastidio sono comprese tra i 2.5 ed i 20 Hz (Verkuijlen and Westra, 1984), e, l'effetto sugli individui è simile a quello che si sperimenterebbe in seguito alle variazioni di intensità luminosa di una lampada ad incandescenza a causa di continui sbalzi della tensione della rete di alimentazione elettrica.

I più recenti aerogeneratori tripala operano ad una velocità di rotazione di molto inferiore ai 35 giri al minuto, corrispondente ad una frequenza di passaggio delle pale sulla verticale inferiore a 1.75 Hz, minore, quindi, della frequenza critica di 2.5 Hz riportata in letteratura. Inoltre, i generatori di grande potenza (dal MW in su) raramente superano la velocità di rotazione di 15 giri al minuto, corrispondente a frequenze di passaggio delle pale ampiamente minori di quelle ritenute fastidiose per la maggioranza degli individui.

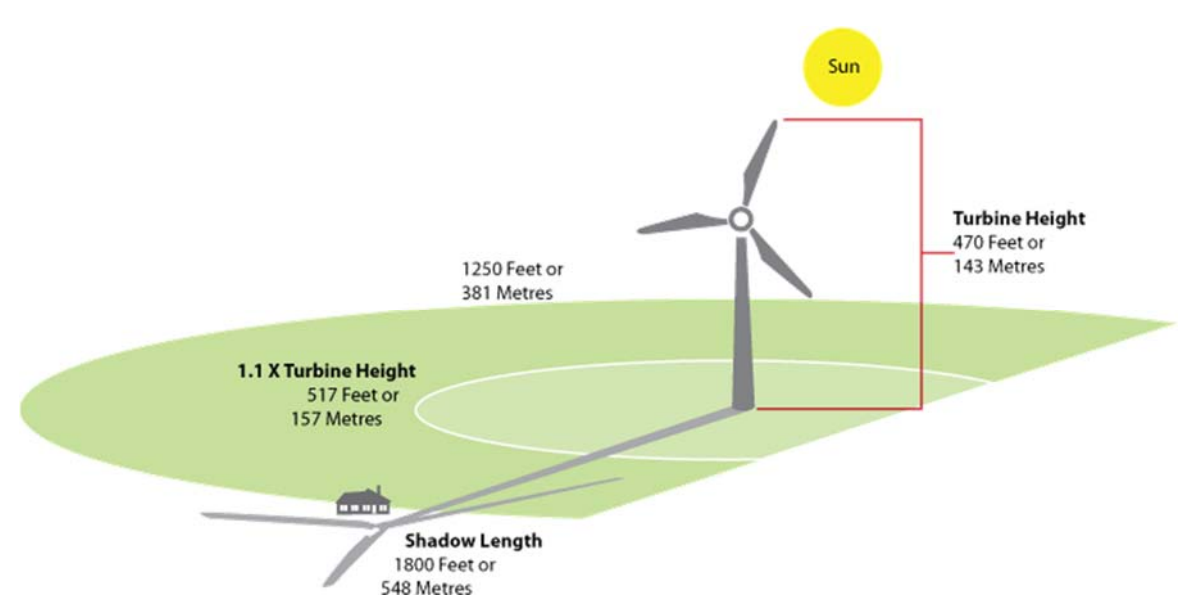


Figura 1: rappresentazione schematica del fenomeno dello shadow flicker

Tale fenomeno, se sperimentato da un ricettore per periodi di tempo prolungati, può generare un disturbo, nelle seguenti condizioni:

- presenza di un livello sufficiente di intensità luminosa, ovvero in condizioni di cielo sereno sgombro da nubi ed in assenza di nebbia e con sole alto rispetto all'orizzonte;
- assenza di ostacoli sulla congiungente ricettore aerogeneratore: la presenza di vegetazione e/o edifici interposti all'ombra generata da questi ultimi annullerebbe il fenomeno. Quindi, condizione favorevole affinché il fenomeno in esame si verifichi, è quella rappresentata dall'orientamento perpendicolare delle finestre di un'abitazione rispetto alla linea congiungente il ricettore all'aerogeneratore in assenza di ostacoli fisici (alberi, altri edifici ecc...);
- orientamento perpendicolare del rotore rispetto alla congiungente sole ricettore: infatti, quando il piano del rotore è perpendicolare alla linea sole-ricettore, l'ombra proiettata dalle pale risulta muoversi all'interno di un "disco" che induce un effetto non trascurabile di shadow flickering; viceversa, nel caso in cui il piano del rotore risulti essere in linea con il sole, l'ombra proiettata risulterebbe molto assottigliata e di bassa intensità per cui l'effetto di shadow flickering sarebbe del tutto trascurabile.

Inoltre, affinché lo shadow flickering, abbia un'intensità non trascurabile è necessario che:

- la posizione del sole sia tale da produrre una luminosità sufficiente; tale condizione corrisponde, per la latitudine di progetto, in un'altezza del sole sull'orizzonte dell'ordine di almeno 10 gradi;
- le pale del rotore siano ovviamente in rotazione;
- I'aerogeneratore ed il potenziale ricettore non siano troppo distanti: infatti, le ombre proiettate in prossimità dell'aerogeneratore risultano di maggiore intensità rispetto a quelle proiettate ad una distanza crescente. Tale condizione deriva dal fatto che in presenza di un ricettore molto prossimo all'aerogeneratore, una porzione ampia di pala copre il disco solare così come osservato dal punto di vista del ricettore stesso, e, quindi, l'intensità del flicker risulta maggiormente percepibile. All'aumentare della distanza tra aerogeneratore e ricettore, le pale, durante il loro moto di rotazione, andranno a coprire una porzione sempre più piccola del disco solare, inducendo un effetto di flicker di minore intensità.

Alla luce di quanto sopra esposto, le relazioni spaziali tra un aerogeneratore ed un ricettore (abitazione), così come la direzione del vento risultano essere fattori chiave per la durata del fenomeno di shadow flicker. Per distanze dell'ordine dei 400-500 m, il fenomeno in esame potrebbe verificarsi all'alba oppure al tramonto, ovvero in quelle ore in cui le ombre risultano molto lunghe e la radiazione diretta è di minore intensità per effetto della piccola elevazione solare. Al di là di una certa distanza l'ombra smette di essere fastidiosa perché il rapporto tra lo spessore della pala ed il diametro apparente del sole diventa molto piccolo. Quindi, come è facile immaginare, la condizione più penalizzante corrisponde al caso in cui il piano del rotore risulti ortogonale alla congiungente ricettore – sole; infatti, in tali condizioni, l'ombra proiettata darà origine ad un cerchio di diametro pari a quello del rotore del generatore eolico.

Sebbene il fenomeno possa essere percepito anche all'esterno, esso risulta evidente e fastidioso in quegli ambienti con finestrature rivolte verso le ombre. In generale, l'area soggetta a shadow flicker non si estende oltre i 500÷1000 m dall'aerogeneratore e le zone a maggiore impatto ricadono entro i 500 m di distanza dalle macchine con durata del fenomeno dell'ordine delle 200 ore all'anno; il flickering, se presente, non supera in genere i 30/40 minuti di durata potenziale nell'arco di una giornata.

L'intensità del fenomeno è definita come la differenza di luminosità che si percepisce in presenza ed in assenza di flickering in una data posizione. In definitiva, si può affermare che:

- avendo le pale una forma rastremata con lo spessore che cresce verso il mozzo; il fenomeno risulterà tanto più intenso quanto maggiore sarà la porzione di disco solare coperta dalla pala stessa e quanto minore la distanza dal ricettore;
- l'intensità del flickering sarà minima quando l'ombra prodotta è generata all'estremità delle pale;
- maggiori distanze tra generatore e ricettore determinano ombre meno nette; in tal caso l'effetto flickering risulterà meno intenso e distinto.

La presente relazione ha lo scopo di illustrare il fenomeno dello "shadow flickering" e di valutare il suo effetto nell'area circostante l'impianto eolico in oggetto in relazione agli aerogeneratori previsti in progetto.

Nello specifico, quando si valuta l'impatto da shadow flickering, lo stesso può essere realizzato attraverso l'analisi di due casi particolari:

- il worst case, in cui viene valutata la massima durata del fenomeno, ovvero quella astronomica, che corrisponde alle condizioni di cielo sempre sgombro da nubi, di rotore in movimento continuo e di perpendicolarità tra quest'ultimo ed il potenziale ricettore;
- il real case, in cui viene valutata la durata realistica del fenomeno, tenendo conto del soleggiamento effettivo dell'area e delle specifiche condizioni anemologiche che determinano la reale operabilità degli aerogeneratori.

2 Individuazione dei ricettori

Allo scopo di valutare l'impatto indotto sugli edifici da parte dell'impianto eolico in progetto, sono stati individuati i recettori potenzialmente sensibili presenti in un'areale corrispondente all'inviluppo delle aree buffer circolari di raggio pari a 10 volte il diametro del rotore (nel caso in esame 1700 m) del modello di aerogeneratore previsto in progetto (D pari a 170 m), con centro coincidente con le postazioni delle WTG in oggetto; ciò in accordo con quanto stabilito dalla "National Policy Statement for Renewable Energy Infrastructure (EN -3)" (UK, 2011) (PPS22 per l'Inghilterra, TAN8 per il Galles), secondo la quale è improbabile che si verifichi un impatto significativo da shadow flickering a distanze superiori a dieci volte il diametro del rotore. Si è preferito optare per seguire le indicazioni delle Linee Guida anglosassoni in quanto da esperienze pregresse è sempre risultato che i 10 diametri sono più che cautelativi nella valutazione dello shadow flickering, come peraltro avviene di default all'interno di tutti i software che valutano tale impatto.

Sebbene il fenomeno possa essere percepito anche all'esterno degli edifici, esso risulta evidente e potenzialmente fastidioso in quegli ambienti con finestrature localizzate lungo la direttrice sole-aerogeneratore e, per tale ragione, si è considerato nella simulazione la presenza di finestre di altezza pari a 1.5 metri e larghezza pari ad 1 metro, posizionate ad una quota dal suolo di 2 metri e disposte su tutte le facciate degli edifici considerati, in direzione dei quattro punti cardinali (N-E-S-W).

Di seguito sono riportati i riferimenti geografici dei potenziali recettori individuati nel buffer sopra specificato.

Tabella 1: ricettori considerati

Ricettore	Coordinate UTM-WGS 84		Categoria catastale	Comune
	fuso 33			
	Est	Nord		
F7.2	639472	4481870	A4, D10	MONTESCAGLIOSO
F7.1	640291	4481706	D10	MONTESCAGLIOSO
F4.10	641525	4481621	A3, D10	MONTESCAGLIOSO
F4.8	641733	4481549	A2	MONTESCAGLIOSO
F4.16	642634	4482483	А3	MONTESCAGLIOSO
F4.16	642590	4482479	D10	MONTESCAGLIOSO
F4.15	642919	4482139	D10	MONTESCAGLIOSO
F1.1	644411	4483044	А3	MONTESCAGLIOSO
F1.4	645001	4483031	A2	MONTESCAGLIOSO
F1.7	645215	4482812	А3	MONTESCAGLIOSO
F1.8	645620	4482285	А3	MONTESCAGLIOSO
F1.14	645225	4482090	D10	MONTESCAGLIOSO
F3.6	643609	4481274	D10	MONTESCAGLIOSO
F3.1	643872	4480999	D10	MONTESCAGLIOSO
F3.3	643729	4480830	А3	MONTESCAGLIOSO
F3.13	645565	4480542	A2, A3, A4	MONTESCAGLIOSO
F3.12	645298	4480200	A4	MONTESCAGLIOSO
F3.10	644622	4479850	A4	MONTESCAGLIOSO
F3.16	643231	4479838	A2	MONTESCAGLIOSO
F3.17	643079	4479987	A3	MONTESCAGLIOSO
F3.18	643148	4480158	A3	MONTESCAGLIOSO

F5.3	642225	4480354	D10	MONTESCAGLIOSO
F6.12	641675	4479231	А3	BERNALDA
F6.10	641537	4479332	A4	BERNALDA
F6.13	641506	4478944	D10	BERNALDA
F6.5	640872	4480268	A2	MONTESCAGLIOSO
F6.6	640875	4480180	D10	MONTESCAGLIOSO
F6.7	640951	4480139	D10	MONTESCAGLIOSO
F1.5	645173	4482816	А3	MONTESCAGLIOSO

La seguente tabella riporta le coordinate degli aerogeneratori previsti in progetto Siemens-Gamesa SG170 5.8 MW (D max 170 m, h Hub 115 m).

Tabella 2: coordinate aerogeneratori di progetto

WTG	Coordinate UTM-WGS 84 fuso 33		D	hHub
	Est Nord			
T1	644638	4482450	170	115
T2	644122	4481950	170	115
T3	644370	4481088	170	115
T4	642799	4481268	170	115
T5	T5 642289		170	115
T6	641659	4480480	170	115
T7	640518	4481317	170	115

3 Modello di calcolo

L'analisi dell'impatto da shadow flickering prodotto da un parco eolico è realizzata, generalmente, attraverso l'impiego di specifici applicativi che modellano il fenomeno in esame. I pacchetti software impiegati comunemente per la progettazione di impianti eolici contengono moduli specifici per il calcolo e l'analisi del fenomeno di flickering.

L'analisi si basa necessariamente sull'impiego di un modello digitale del terreno dell'area oggetto di progettazione, sulle posizioni (E, N, quota) degli aerogeneratori e dei potenziali ricettori sensibili, nonché sui dati che correlano la posizione del sole nell'arco dell'anno con le condizioni operative delle turbine nello stesso arco di tempo.

Al fine di calcolare la posizione relativa del sole nell'arco di un anno rispetto al parco eolico ed ai ricettori è necessario definire la longitudine, la latitudine ed il fuso orario dell'area interessata dal progetto (coordinate baricentriche del dominio di calcolo).

Nello specifico, nel presente studio, è stato impiegato il modulo shadow flickering del software WindFarm 5.0.1.2 (ReSoft Limited©). Esso consente di analizzare la posizione del sole nell'arco di un anno allo scopo di identificare i tempi in cui ogni aerogeneratore può proiettare ombre sulle finestre delle eventuali abitazioni vicine. In particolare, il modello permette di:

- calcolare il potenziale per le ombre intermittenti alle finestre delle abitazioni;
- mostrare un calendario grafico degli eventi di flickering;
- mostrare un elenco dettagliato di ciascun evento di ombreggiamento (ora di inizio, di fine, durata del fenomeno, aerogeneratore/i coinvolti ecc...);
- creare mappe di impatto potenziale che mostrano le ore d'ombra intermittente per l'intero parco eolico o per le singole macchine (curve di isodurata) nell'arco dell'anno.

Al di là di una certa distanza, come già osservato, l'ombra smette di dare fastidio perché il rapporto tra lo spessore della pala e il diametro apparente del disco solare diventa piccolo. Poiché non vi è un valore generalmente accettato per questa distanza massima, WindFarm permette di specificare il limite in metri o multipli del diametro o dell'altezza complessiva del generatore eolico.

Come accennato sopra, nel caso in esame, per quanto concerne le simulazioni effettuate, si è assunta una distanza massima di influenza del fenomeno in esame pari a 10 volte il diametro dell'aerogeneratore di progetto (1700 m) ed un angolo minimo di altezza del sole sull'orizzonte pari a 3°. Tali assunzioni di input al modello risultano molto conservative in relazione a quanto espresso sopra in termini teorici in riferimento al fenomeno di shadow flickering.

In particolare, il modello numerico utilizzato, al pari degli altri presenti sul mercato, produce in output una mappa di impatto nel caso più penalizzante, il così detto "WORST CASE", corrispondente alle ore in cui il sole permane al di sopra dell'orizzonte nell'arco dell'anno (ore di luce, ca. 4380 h/a), indipendentemente dalla presenza o meno di nubi, le quali inficerebbero il fenomeno stesso dello shadow flickering per l'impossibilità che si generino ombre.

Nello specifico, il worst case è caratterizzato dalle seguenti ipotesi:

- assenza di qualsiasi ostacolo naturale o artificiale (alberature, muri di cinta, edifici, ecc...), ad eccezione dell'orografia dell'area, frapposto tra i ricettori e gli aerogeneratori, tale da limitare o eliminare completamente il fenomeno dello shadow flickering;
- aerogeneratori sempre operativi;
- presenza di sole durante tutto il periodo diurno dell'anno (assenza di nubi);

Parco Eolico "Lumella"

Studio sugli effetti di shadow flickering

 perpendicolarità tra il piano del rotore e la congiungente sole-ricettore (worst case wind direction), ovvero l'aerogeneratore insegue il sole.

Ciò considerato si evince che i risultati ai quali si perverrà risultano estremamente cautelativi, trattandosi di una stima puramente teorica.

Quindi, allo scopo di pervenire a valori più realistici di impatto, prossimi al caso reale (REAL CASE), si dovrebbe considerare il valore di eliofania locale, ovvero il numero di ore di cielo libero da nubi durante il giorno, e quello delle ore stimate di funzionamento dell'impianto eolico nell'arco dell'anno. Per l'area in esame il valore medio di eliofania corrisponde a circa 2400 $h/a^{1,2}$, quindi, i risultati del calcolo possono, ragionevolmente, essere abbattuti del 45.21 %, pari al complemento a 1 del rapporto 2400/4380 = 54.79 %.

In altri termini, rispetto al WORST CASE, la probabilità di occorrenza del fenomeno di shadow flickering si riduce realisticamente, per l'area in esame, al 54.79 % del valore calcolato dal modello impiegato e che corrisponde proprio alla probabilità che il disco solare risulti libero da nubi.

Inoltre, dal momento che il fenomeno in esame è prodotto dalla contemporanea presenza di sole libero da nubi (potenzialità di generare ombre) e di velocità del vento superiori a quella di cut-in (rotore in moto), i valori calcolati dal modello (considerando la condizione più penalizzante di rotore permanentemente in moto) possono essere ulteriormente abbattuti di una percentuale corrispondente alle ore annue di effettivo funzionamento macchina rispetto al totale delle ore in un anno (8760 h).

Per il parco eolico in esame le ore macchina, in base ai risultati dello studio anemologico fornito dal committente, sono state ipotizzate pari al 72.3%³ delle ore anno, ovvero 6333 ore; in altri termini, la probabilità che il rotore di un aerogeneratore risulti in movimento è appunto dell'ordine del 72.3 % (pari al rapporto 6333/8760).

In definitiva, i valori calcolati dal modello numerico (ore di ombreggiamento intermittente all'anno presso i diversi ricettori individuati) possono, realisticamente, essere ridotti di un fattore pari al complemento a 1 del prodotto 72.3 % x 54.79 % = 39.62 %, ovvero 60.38 %, corrispondente alla probabilità composta di avere contemporaneamente l'occorrenza di rotore in rotazione (vento) e sole libero da nubi (ombre), fenomeni, questi ultimi, stocasticamente indipendenti per cui la probabilità composta risulta pari al prodotto delle singole probabilità.

³ Considerando il report anemologico disponibile ed il fatto che la wtg prevista in progetto è caratterizzata da una velocità di cut-in dell'ordine di 3 m/s, le ore macchina dovrebbero essere dell'ordine del 74.5% di quelle annuali. Tenendo conto dei valori di disponibilità dell'impianto e della rete rispettivamente pari a 98% e 99%, l'assunzione del 72.3% sembra molto ragionevole.



¹ Pinna M. (1985). L'eliofania in Italia. Mem. Soc. Geogr. It., 39: pag. 23-58.

² Lavagnini A., Martorelli S., Coretti C. (1987). Radiazione solare in Italia. Mappe mensili della radiazione globale giornaliera. Roma, CNR, Ist. Fis. Atm., pag. 48.

Parco Eolico "Lumella"

Studio sugli effetti di shadow flickering

4 Risultati

Al fine di verificare la presenza e l'intensità del fenomeno dello shadow flickering indotto dal parco eolico in progetto sono state effettuate una serie di simulazioni con software dedicato che hanno tenuto conto:

- della latitudine locale, allo scopo di considerare il corretto diagramma solare;
- della geometria effettiva delle macchine previste, ed in particolare dell'altezza complessiva di macchina, intesa come somma tra l'altezza del mozzo ed il raggio del rotore;
- dell'orientamento del rotore rispetto al ricettore;
- della posizione del sole e quindi della proiezione dell'ombra rispetto ai recettori;
- dell'orografia locale, tramite un modello digitale del terreno (DTM) dell'area di installazione del parco;
- della posizione dei possibili ricettori (abitazioni), nonché degli aerogeneratori (layout di progetto).

Come sopra accennato, le simulazioni effettuate sono state condotte in condizioni conservative, assumendo il cielo completamente sgombro da nubi, foschia, ecc. e nessun ostacolo interposto tra i ricettori individuati e gli aerogeneratori previsti in progetto.

Il programma effettua il calcolo delle ore del giorno in cui si potrebbe avere l'effetto del flickering sul ricettore considerato, facendo la somma dei minuti in cui il fenomeno risulta presente. Effettua poi la somma teorica dei minuti di ciascun mese (worst case) che poi può essere ridotta in considerazione delle giornate soleggiate, dell'operatività effettiva dell'impianto eolico, della direzione del vento ecc... Inoltre, avendo calcolato geometricamente l'evoluzione delle ombre durante la giornata, è possibile identificare l'area in cui avviene il fenomeno dello shadow flickering per ciascun aerogeneratore. Si ottengono così i dati sinteticamente riportati nelle seguenti figure.

La frequenza dello shadow flickering è correlata alla velocità di rotazione del rotore; le frequenze tipiche per le macchine considerate nel presente progetto sono dell'ordine di 0.6-0.75 Hz (corrispondenti a 8.8 – 10.6 rpm, circa un passaggio ogni 1.2-1.5 secondi). In termini di impatto sulla popolazione, tali frequenze sono innocue; basti pensare che le lampade stroboscopiche, largamente impiegate nelle discoteche, producono frequenze comprese tra 5 e 10 Hz.

La tabella seguente riassume i risultati dell'analisi eseguita secondo la metodologia di calcolo descritta nelle sezioni precedenti.

Tabella 3: risultati del calcolo

Ricettore	Caso "peggiore"		Caso "medio"	Caso "realistico"	Categoria catastale
	giorni/anno	ore/anno	[ore/anno]	[ore/anno]	
F7.2	63	18.9	7.5	3.6	A4, D10
F7.1	75	73.7	29.2	14.0	D10
F4.10	55	39.5	15.6	7.5	A3, D10
F4.8	59	37.6	14.9	7.1	A2
F4.16	38	9.7	3.8	1.8	A3
F4.16	36	9	3.6	1.7	D10
F4.15	44	16.5	6.5	3.1	D10
F1.1	61	43.3	17.2	8.2	A3
F1.4	71	53.4	21.2	10.2	A2
F1.7	158	85.3	33.8	16.2	A3



F1.8	103	49.4	19.6	9.4	A3
F1.14	44	22	8.7	4.2	D10
F3.6	143	99.3	39.3	18.9	D10
F3.1	193	199.8	79.2	38.0	D10
F3.3	141	148.4	58.8	28.2	A3
F3.13	86	42.5	16.8	8.1	A2, A3, A4
F3.12	0	0	0.0	0.0	A4
F3.10	0	0	0.0	0.0	A4
F3.16	58	19.5	7.7	3.7	A2
F3.17	54	20.1	8.0	3.8	A3
F3.18	41	14.9	5.9	2.8	A3
F5.3	144	130.3	51.6	24.8	D10
F6.12	0	0	0.0	0.0	A3
F6.10	0	0	0.0	0.0	A4
F6.13	0	0	0.0	0.0	D10
F6.5	104	73	28.9	13.9	A2
F6.6	93	70.4	27.9	13.4	D10
F6.7	0	0	0.0	0.0	D10
F1.5	121	78.1	30.9	14.9	A3

Nello specifico, la tabella precedente riporta il numero di giorni e di ore in cui è fisicamente possibile che il fenomeno si presenti (caso peggiore) e il valore atteso di ore l'anno in cui il fenomeno potrebbe presentarsi (caso medio). A tal proposito è importante sottolineare che anche il caso medio, calcolato tenendo conto dell'eliofania locale e delle ore di funzionamento dell'impianto, è comunque un valore cautelativo in quanto nella stima non si è tenuto conto degli effetti mitigativi dovuti al fatto che il piano di rotazione delle pale non sempre risulta ortogonale alla direttrice solericettore e all'eventuale presenza di ostacoli e/o vegetazione interposti tra il sole ed il singolo ricettore.

Se si considera il grafico della frequenza relativa alla direzione di provenienza del vento (figura successiva) per la torre anemometrica del parco eolico in oggetto si evince che i risultati sopra riportati possono essere ridotti di almeno un ulteriore 52.0 % (caso realistico), dal momento che le direzioni prevalenti del vento risultano essere: NO-SE (32.0% + 16.0%), per un totale del 48.0%.

Alla luce di ciò, le ore del fenomeno subiscono un ulteriore abbattimento, che le porta ad essere circa il 20% di quelle determinate dal modello WORST CASE.

<u>In definitiva, nessun ricettore (abitazione) risulta soggetto al fenomeno dello shadow</u> <u>flickering per più di 30 ore l'anno.</u>



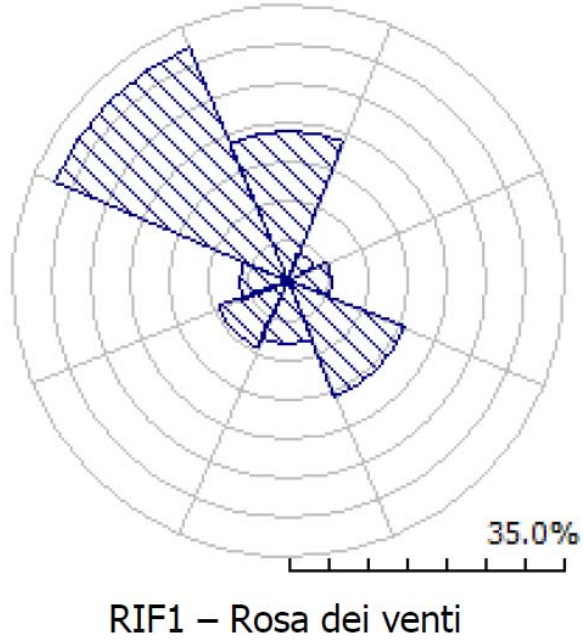


Figura 2: frequenza della direzione del vento per la torre anemometrica di riferimento

Attualmente nel nostro paese non sono state emanate specifiche norme o linee guida che regolamentino i limiti di esposizione al fenomeno dello Shadow flicker generato dall'esercizio degli impianti eolici, né è stata definita una distanza massima oltre la quale si ritiene improbabile il verificarsi di un impatto significativo sulla salute umana.

Viceversa, a livello internazionale esistono diverse linee guida e normative specifiche che stabiliscono precisi limiti di esposizione, in termini di ore/anno e ore/giorno, al fenomeno in esame.

In particolare, nella presente valutazione si è tenuto conto delle principali linee guida e/o normative internazionali, che fissano limiti di esposizione entro i quali gli effetti del fenomeno sulla salute umana posso considerarsi trascurabili o nulli, quali, in particolare:

- Länderausschuss für Immissionsschutz "Hinweise zur Ermittlung und Beurteilung der optischen Immissionen von Windenergieanlagen (Guideline for identification and evaluation of the optical emissions of wind turbines) (WEA-Schattenwurf-Hinweise)" (Germania, 2002);
- Department of Energy and Climate Change "National Policy Statement for Renewable Energy Infrastructure (EN-3)" (Regno Unito, 2011).

Si rappresenta che la maggior parte dei paesi che hanno adottato specifiche linee guida o regolamenti in materia si sono basati sulle norme di riferimento tedesche e sui limiti di accettabilità da esse introdotti. Sebbene in assenza di una specifica normativa o linea guida, in nazioni quali Austria, Brasile, Canada, India, Giappone e Polonia, si impiegano, come buona pratica, le indicazioni contenute nelle linee guida tedesche. Nello specifico, tali linee guida sono state introdotte nel 2002 dal comitato statale per il controllo dell'inquinamento e, da allora, sono state adottate dalla maggior parte dei Lander e sono comunemente considerate buone pratiche nella valutazione dell'impatto prodotto da un parco eolico. In particolare esse stabiliscono che lo shadow flickering deve essere valutato:

- per angoli del sole sull'orizzonte superiori a 3 gradi; per angoli inferiori il fenomeno si ritiene schermato dalla presenza di edifici e/o vegetazione;
- ad un'altezza di 2 metri dal suolo;

I valori limite di accettabilità stabiliti dalle suddette linee guida sono un massimo di:

- 30 minuti al giorno;
- 30 ore all'anno.

Dalle analisi precedenti, quindi, si evince che nessun ricettore nel buffer di 1700 m dagli aerogeneratori previsti in progetto e riportati in tabella 3, in nessun caso risultano soggetti al fenomeno dello shadow flickering per una durata superiore a 30 minuti al giorno.

A seguito di quanto descritto nelle sezioni precedenti si può concludere che, pur considerando una stima cautelativa in quanto non si è tenuto conto dell'eventuale presenza di ostacoli e/o vegetazione interposti tra il sole e i ricettori considerati, il fenomeno dello shadow flickering si può considerare assolutamente trascurabile dal momento che non si verifica per oltre 30 ore l'anno o 30 minuti al giorno presso alcuna abitazione, incidendo in maniera molto limitata e poco significativa.

Inoltre si rappresenta che si tratta di fenomeni:

- limitati nello spazio, in quanto relativi solo a due edifici molto prossimi;
- episodici durante l'anno e localizzati all'alba o al tramonto;
- di breve durata nel corso della giornata, in quanto ciascun edificio è interessato solo per un breve periodo;
- limitati come intensità, dal momento che la luce del sole, in condizioni di alba o tramonto, risulta di intensità modesta e, quindi, è modesta anche la variazione dovuta allo shadow flickering.

Va altresì sottolineato che:

■ la velocità di rotazione dell'aerogeneratore di progetto è dell'ordine di 8.8 – 10.6 rotazioni al minuto, quindi nettamente inferiore a 60 rpm, frequenza massima raccomandata al fine di ridurre al minimo i fastidi e soddisfare le condizioni di benessere.

Alla luce di quanto sopra esposto, al fine di ridurre ulteriormente e/o annullare completamente il fenomeno in oggetto e di eliminare completamente qualunque disturbo indotto sulle abitazioni interessate potrà essere prevista, di concerto con i proprietari dell'immobile, come intervento di mitigazione, la piantumazione di barriere sempreverdi (normali siepi di recinzione).

<u>Le distanze reciproche tra generatori eolici e ricettori, le condizioni orografiche del sito considerato, determinano la pressoché totale assenza del fenomeno in esame.</u>

È comunque utile sottolineare che, a vantaggio di sicurezza, le simulazioni effettuate sono state eseguite in condizioni non realistiche, ipotizzando che si verifichino contemporaneamente le condizioni più sfavorevoli per un determinato ricettore potenzialmente soggetto a shadow flickering, ovvero concomitanza dei seguenti fattori: assenza di nuvole o nebbia, rotore frontale ai ricettori, rotore in movimento continuo, assenza di ostacoli, luce diretta ecc....

In allegato è riportata la mappa delle ore di ombreggiamento (shadow flickering) nel worst case (caso peggiore) così come elaborata dal modello impiegato.

